

拔 離

◎ 白淬鋼の冷却臨界點とトルースタイト及びマルテンサイトの生成

(M. P. Dejean-Revue de Métallurgie, 14^e Année—No. 5. 1917.)

礫山生

第一 緒論

氣淬鋼(Les aciers trempants à l'air)の冷却に際し二重臨界點の生することは Osmond 氏が炭素〇・四%タンゲステン六・三五%を含む鋼に就き研究せるを以て嚆矢とす而して此の頃より高速度鋼の世に現はるゝありて之が特性を究めんとするもの多かりしか満足すべき説明は未だあらざりき。

第一圖は炭素〇・七%、タンゲステン一八・〇%、クローム四・〇%及びバナデュームの少量を組成分とする高速度鋼に就きて得たる臨界點曲線を表はす(以下記述する曲線の多くはル・シャトリエ及サラデイン氏装置を用ひ示差測定法(La méthode différentielle à l'appareil Le Chatelier-Saladin)により得たるものなり)圖の頂上に描きたるは加熱曲線にして二個の臨界點あり、第一點即ち七百七十五度にて最高點を示すものは含クローム鋼の特點にして八百五十度乃至八百七十五度にて生する主點(AC_1)に先ちて起るものなり、冷却線も亦同成分の試料にて得たるものなれども最高加熱温度は試料によりて各異り曲線の右方出發點は夫々其の最高加熱温度を示すものとす、今此の冷却初期の温度(Les temp-

téatures initiales de refroidissement)を逐次増加して研究せんに八百五十度(加熱第二臨界點より冷却を始むる時は臨界點は八百度附近より起り七百五十度附近にて最大となる、吾人は之をA點と稱す若し冷却初期の溫度九百度を超ゆる時は前配臨界點の外に五百及四百度の間に於て第二點の現るゝを見ゆるへし、之をB點と稱す、此B點は最高加熱溫度の昇騰するに従ひ發達するものにして同時にA點は次第に縮少し加熱九百五十度に達すれば全く消滅す、更に高溫度(約千百度)に熱する時はB點も亦衰ふるに至る、今金屬に對しA點の極大なる $n^{\circ}3$ 及A點消滅してB點のみ出現せる $n^{\circ}6$ に相當する熱處理を施し之にブリネル試験を行ひたるに其の結果次の如し但し鋼球は中徑十粍壓力三千粍なり。

3 の取扱を受けたるもの

回痕の中徑 三・六粍

6 の取扱を受けたるもの

同 二・四粍

右の結果によりA點及B點は夫々柔軟及堅硬組織に相當するものと見るを得へく且つ検鏡試験の結果によるも亦同様なり而して L. Guillet, Th. Swinden, Arnold 及 Read 諸氏の研究になるタンクステン鋼及高速度鋼の顯微鏡寫真は甚た複雑にして之等の試験より得たる所のものを其儘引用することは困難なるか如し。

然るに茲に上述の鋼と臨界點の性質相類似し且つ其の顯微鏡組織頗る明瞭なるものあり其の中にはニッケル、クローム鋼等もあれと一例としてニッケルの一部を銅にて置換したる左の組成分を有するものに就き述ぶる所あらんとす。

炭素%	硅素%	満倦%	ニッケル%	クローム%	銅%
○・三九	○・一三	○・四三	二・四四	一・八三	一・七二

第三圖の上部にあるは此鋼の加熱曲線にして一個の明瞭なる臨界點を有し略七百四十度附近に始まり七百八十度に至る迄發達す、而して此點を超ゆる時は八百六十度以上に達するに非れば正規

の状態に復せず冷却曲線の右端は加熱最高温度を示すものにして之等の中には曩に命名したるA及Bの二點を有するものあり。

A點 高温度に於て生ずる點を云ふ此點は加熱温度七百五十度を超ゆる時現はるものにして最高温度の高き程其の強度を増加し七百八十度の時最大となるも爾後衰弱し八百五十度に達すれば消滅す。

B點 第二點を云ふA點の強さ衰ひ後消滅するに至りB點は強度を増し次いて凡そ二百五十度附近に停止す而して加熱温度(九百度或は千百度)と冷却速度の如何に拘らず一定なるか如し、例へば15の曲線は上方諸曲線の場合よりも十倍程の速さを以て冷却したるものなれどもB點は常に二百五十度を去らす曲線8、9、10、11に見得る如く加熱温度の増加により臨界温度の低下するものをB'によりて表示し曲線12、13、14及15の如く温度の如何に關せざるものをBにて表はす。

以上の外A、B兩點と硬度との間に一の關係あることを知らざる可らず今臨界點測定に供したる試料(同一の速度を以て加熱若くは冷却す)に就きブリネル球壓試験を試みしに第三圖に示す如き曲線を得たり(縦軸はブリネル硬度數を又横軸は最高加熱溫度を表はすものとす)此曲線によりA點の強を増加すれば從て硬度減少するを知る、即ち七百八十度に熱する時はA點の強さ最大となれども同時に硬度は最小限に減しB'點の現はるゝに及び硬度は急速に増加す而してA點消滅してB點二百五十度に停止すれば最硬となる、故にA點は軟組織に又B點は硬組織に相當するものと見るを得へく其特性は顯微鏡的研究とよく一致する所なり第五圖は七百六十度に熱したる試料の組織なるを以て比較的柔軟なり(トルースタイトとマルテンサイトの少量を含有す)又第六圖は千度に熱したる試料の組織にて最高硬度を有し殆んどマルテンサイトよりなる、以上述へたる硬度及檢鏡試験に

より A 點はトルースタイトの生成に又 B 點はマルテンサイトの生成とよく一致することを知り得たるならん、換言すればトルースタイトとマルテンサイトの混淆せるはトルースタイトかマルテンサイトに先して成形したるものなりと言ふを得可し、然れども此見解は一般に是認せられたる假説「トルースタイトはマルテンサイトの一部分解したるもの換言すればトルースタイトはマルテンサイトの後に成形す」と一致せざるなり(故に斯くの如き特別なる場合は研究の餘地あるへし)

以下逐次トルースタイトとマルテンサイトとを共有する特種鋼、次に炭素鋼の健淬に就き研究せんとす。

第二 トルースタイトとマルテンサイトの生成に關する實驗的研究

満 倦 鋼

(I) 炭素量の少き鋼(炭素〇・四%以下)

満倦四・〇%以下を含む鋼はパーライトとフェートライトよりなる、四一一二%を含むものはマルテンサイトよりなり之以上の満倦を含む時は多面體組織にして不帶磁性となる即ちオーステナイト的或は γ 鐵となる。

諸家の満倦鋼の臨界點に關する研究によれば冷却臨界點 A_1 或は A_{1321} の溫度は満倦含有量の増加に伴ひ低下し一三%以上なる時は最早や臨界點を認め得ざるへし、吾人は前記高速度鋼及ニッケル、クローム、銅鋼と同様に炭素〇・三一〇・四%を含む鋼に就き加熱溫度を遞加しつゝ其の臨界點を測定したるに次の結果を得たり。

1. 滿倦量〇一四%なる時は炭素鋼の A_1 に應する點は満倦量増加せば低下す例へは満倦を含まざる鋼の臨界點は七百八十度なれども満倦二・一-%を有するものは五百九十度にして(第七圖)三%を含むものは五百三十度なり(第八圖)又此の鋼の加熱溫度七百五十度乃至千八十度なる時

は五百三十度乃至四百七十度に低下すへし而して之等の鋼はパーライト及びフェラライトよりなる。

2. 満俺量三・五十四%なる時はA、B兩臨界點を有す(第九圖)溫度と満俺量との關係を縱横軸にとりて考ふるに(第十圖)五百度にて起る此種鋼のA點は前項諸曲線の $\frac{1}{2}$ 點の延線上にあるを知る。B點に至りては溫度著しく低下(二百七十度)す要するに此の種類に屬する鋼はトルースタイト及マルテンサイトよりなる。

3. 滿俺量増大せばA點は消滅す炭素○・四二%、満俺四・二%の鋼にありては其の痕跡さへも認めずと言ふて可なり(第十圖)之に反しB點は甚た明瞭となり其の溫度は満俺量の増加に伴ひ低下す即ち満俺量八・五%なるときは約一百度にして一一%なる時は常溫にて起るものとす、之等の鋼はB點を有するのみなれば其の組織はマルテンサイト的なり。

4. 滿俺量一一%以上なる時は最早や臨界點を有せず。

第十圖に掲くる曲線圖は臨界點と左記三帶との關係を明示するものにしてトルースタイトとマルテンサイトの中間帶は満俺量三・五一四%の間にあり。

1 パーライト帶(満俺○一三・五%)

2 マルテンサイト帶(満俺四一一大%)

3 オーステナイト帶(満俺一一%以上)

線 $a\dot{b}$ はパーライト或はトルースタイトの生成に相當し線 $c\dot{d}$ はマルテンサイトの生成に相當す而して此の二線の間には何等關係なきものとす、往時 b 及 c 點を連結したるものありしか誤なり。

(II) 炭素量○・七一一・〇%を含む鋼

満俺量○一三%なる時はパーライトとトルースタイトよりなりA點を有するのみ。

満俺量約三一八・五%なる時は概ねトルースタイトとマルテンサイトよりなり二冷却臨界點A及Bを有す(第十二圖)

満俺量八・五%以上なる時はオーステナイト的(不帶磁性)となれども千八百九十四年以來 Le Chatelier氏の證せるか如く五百五十度附近に熱するか又は極めて緩徐に冷却するかによりトルースタイト(帶磁性)を生せしむる事を得、吾人は炭素一・一四%, 満俺一一%を有する鋼の臨界點は極めて緩徐に冷却したる場合には約五百五十度にして且つ此の點は帶磁性の出現に對應しあることを確認せり第十三圖は右の鋼に類似したる鋼を八百七十五度に軟過したる後極めて緩徐に冷却したる組織にしてトルースタイト及びオーステナイトよりなる五百五十度はトルースタイトの生成に應する點にして即ちA點なり。

第十四圖は成分を異にする鋼の關係を示すものにして満俺量○一三%なる時は臨界溫度(A_{c1})は満俺の増加するに従ひ低下し又三一八・五%の満俺量なる時B點を生すれども適當の取扱を爲す時は常にA點を生せしむる事を得。

而して八・五%以上に達すればB點は常溫以下にて生すへく此の際A點は前述の如く尙ほ生起せしめ得るものなり、吾人はかくA,B兩點間に於ける鋼の狀態に就き研究し得たるか斯くの如き鋼は唯トルースタイトとマルテンサイトよりなる(第十三圖)若しこれを液體空氣中に冷却する時はB點以下に冷却し得るを以てトルースタイトは變化なきもオーステナイトは變化してマルテンサイトとなる。

之等の結果によりA點はトルースタイトの生成に又B點はマルテンサイトの生成に極めてよく一致することを知る。

第十五圖は満俺鋼に關する吾人の研究結果を圖式的に表示したものにして満俺を縱軸にとり

炭素を横軸にとりたるものなり圖を分ちて三區となすことを得。

第一區(a) 満俺量少し、炭素鋼の如く A 點のみを有し組織はパーライト的なり。

第二區(b, c) 第一區よりも満俺量大なる鋼にして冷却曲線中に B 點を有す、此の鋼はマルテンサイト組織なれども A 點を生せしむるか否かによりてトルースタイトの出否あり第十六圖はトルースタイトとマルテンサイトを共有する鋼の一例なり。

第三區(d, e) 満俺量の最も大なる鋼にして常温以下に冷却するに非れば B 點を生せしむる事能はず、普通に冷却すればオーステナイト組織なるも A 點を出現せしむるか否かによりトルースタイトを抱合する事とせざることあり。

右の外點線によりて曲線圖を二分する事を得、此の線の右下方に位する部分(a, c, e)は A 點を生せしめ得る處にして(パーライト又はトルースタイト鋼)又左上方に位する部分(b, d)は A 點を出現せしむる事殆んど不可能なるか如し(マルテンサイト又はオーステナイト的組織にしてトルースタイトを含ます。)

吾人か斯くの如く單に臨界點の考究を基礎として得たる圖式は Guillet 氏か曩に顯微鏡組織にのみよりて得たるところのものと略相等しきものなり(少くも 1% 以下の炭素を含む鋼に對しては)

ニッケル鋼

不逆ニッケル鋼(Les aciers au Nickel irréversibles)の臨界點に就きては諸家の研究したもの多し、第十七圖は Osmond 氏か自己の研究したる處を略示したる曲線圖にして $B'A'$ は加熱臨界點に又 AB は冷却臨界點に相當す、予は冷却臨界點のみを研究したるを以て以下單に AB 曲線に就きてのみ述へんとす。

満俺鋼を研究したる時にパーライト鋼とマルテンサイト鋼の間に臨界點の斷絶ある事を述へた

りしかニッケル鋼にありても此の事實あり、第十八圖は炭素〇・一九%、ニッケル九・七三%を含む鋼の臨界點曲線にして満俺鋼中に述へし如き二臨界點A、Bを有す、尙ニッケル量増加せばA點は次第に消滅するに拘らずB點は常に存在するものなり。

第十九圖は冷却臨界點中の斷絶を示す。

第十七圖は連續線ABを以て總不逆鋼の冷却臨界點を連結したるものなれともOsmond氏はA點を有する鋼とB點を有する鋼との間に差異ある旨を記載せり、氏か千八百九十八年に發表したる記事を摘錄すれば次の如し。

鐵及ニッケルの合金組織の研究によれば鋼の性質を支配するものは溫度に關する變移點の位置なり、此の變移は四百度以上及び三百五十度と常溫との間に起る、若しこの以下にて起るものあらは明かに三態となる。

臨界點が四百度以上にあるものはA點を有する鋼(バーライト的)にして三百五十度と常溫との間に臨界點を有するものはB點を有する鋼(マルテンサイト的)なり、而して其の他はオーステナイト的の鋼なり。

タンクスステン鋼

タンクスステン鋼中にはA及B點存在す、千八百九十二年Osmond氏はタンクスステン六・二五%、炭素〇・四二%の鋼に就き冷却初期の溫度を變したるため冷却曲線上に變差ある事を發表したるかBöhler氏は千九百三年、又Thomas Swinden氏は千九百七年何れも此の結果を是認せり、第二十一圖はタンクスステン四・四一%、炭素〇・七八%を含む鋼の冷却曲線圖にして七百二十度(加熱臨界溫度に相當する點)乃至九百五十度間には臨界點(A點)を生ぜざるも六百八十度に至りて生起し尙冷却初期の溫度高まれば僅に低下す、而して約千度に達すれば第二點(B'點)は五百八十度に現はる、此の點は初期の溫度高き程

發達良好にして遂に分解するに至る、之に反し A 點は其の強さを減し温度十分に高き時は消滅せんとする傾向あり、A 點を有する鋼は軟にしてトルースタイトよりなり B 點を有する鋼は硬くしてマルテンサイトよりなる。

以上の如くタングステン鋼は尙満俺鋼及ニッケル鋼と全く同様なれども此の鋼の B 點が最も高温度にあることは大に注意すべき點なるへし。

クローム鋼

Edwards, Greenwood 及吉川諸氏は最近左記成分の鋼に就き甚だ綿密なる研究を發表せり。

炭素%	硅素%	満俺%	クローム%
-----	-----	-----	-------

○・六三	○・〇七	○・一七	六・一五
------	------	------	------

吾人か是迄記載したる凡ての試験は冷却初期の温度を變更して行ひたるものなりしか上記諸氏は此の第一圖(冷却_{温度}の變更)の影響を研究したる後冷却速度の影響を知らんか爲め同一温度を以て試験せり、此の第二圖の重要なことは含炭素高級満俺鋼に就きて予の既に唱道せし所なりしか冷却速度のクローム鋼に及ぼす影響頗る鋭敏にして又冷却初期温度も大なる關係あり、之等の研究は健淬溫度に對し鋭敏なるタングステン鋼として冷却速度の影響を受くる炭素鋼との間に或る關係を與ふるものならん。

惟ふに彼等の研究せし所は吾人か是迄 A 點なる名稱の下に呼び來りたる點(約七百度)に外ならず彼等は顯微鏡的見地より此の點が炭化物の沈澱(顯微鏡にて見る時はマルテンサイトの中にトルースタイト見ゆ)に原因する事を主張せり、冷却速度定まる時には A 點及トルースタイトは冷却初期の溫度を上昇するに従ひ減少す、又初期の溫度を一定にする時は冷却速度大となるに従ひ A 點は強さを減す、又 A 點を殆んど消失せしむるに足る最小速度——換言すれば炭化物の沈澱を絶無ならし

むへき最小速度——を測定することも可能なり、第二十一圖の曲線は初期溫度と冷却時間との關係を表はすものなるか溫度を高むる時は健淬速度の不十分なるを醫し得るものなり。

Edward 氏等は五百四十六度以下に於ける冷却の研究は比較的少かりしも六百二十五度附近に A 點を低下し十分其の強さを減したる際冷却曲線の延線上には二百五度以上にて何等熱の發生を認めざりしと言へり、尙此の熱の發生は頗る少なるものにして試料を吹風中に冷却せば全く除去し得るものならん。

尙彼等は冷却初期の溫度を低下して新に低溫度の一臨界點を得たり、即ち此の點は健淬初期の溫度を八百三十度乃至千百四十七度に上昇するに従ひ四百六十度一百八十八度の間に變移するものなり、此の點の振幅は低溫圖に於て生する程小なり。

以上諸氏の研究を吾人の現在研究しつゝあるところのものを適合せしめんか爲め上に述へたる鋼と近似せる成分の鋼を鑄造せり、其の化學的成分左の如し。

炭素 % 硅素 % 満俺 % クローム %

○・五七 ○・一〇 ○・一五 六・二〇

第二十二圖は冷却初期の溫度と冷却速度を變更して得たる臨界點曲線を示す、而して加熱曲線は唯一線なれとも其の加熱速度は終始一定なりき、曲線 1. 2. は爐内にて放冷したるものにして A 點を有するのみなり、然れども冷却初期の溫度上昇するに従ひ A 點現出の溫度は低下す、若し之を空中にて冷却すれば次の如くなる。

1. 八百度に熱すれば冷却曲線中に唯 A 點のみを生す(曲線 B)然れども四百度附近に於て輕微なる屈曲を見る。

2. 八百七十五度に熱すれば冷却曲線中に唯 A 點のみを生す(曲線 B)然れども四百度附近に於て輕微なる屈曲を見る。

幅大なり。

3. 尚大なる溫度即ち九百十度に熱する時は(曲線5)A點は殆んと消滅し而してB'點は著しく低下す。

4. 九百五十度に加熱する時は、第二點は約二百度附近に安定す(曲線6,7のB點)、然れども其の振幅は冷却初期の溫度増加せば減少す、B點は如何なる時と雖完全に消滅することなし。

今若し前述の曲線3,4,5,6,7の系を之迄研究したる凡ての曲線系と比較する時は全く類似のものたる事を知らん、殊にニッケル、クローム、銅鋼(第三圖)に酷似す、尚タンクスティングステン一八%を含む高速度鋼の曲線(第一圖)にもよく類似し冷却初期の溫度を某限界以上に上昇する時はB點の衰弱するを認むへし、尙之等二種の鋼は多面體組織(オーステナイト)を與ふる傾向あり、こは高速度鋼を千三百度にて空中冷却を行ひたる時に生ずる組織にして Guillet 氏は其のクローム鋼に關する研究中に之等の鋼のマルテンサイト組織は急冷を加ふれば加ふる程益々鐵に變化すへき事を記載せり。

第二十三圖は第二十二圖の曲線6なる冷却曲線を與へし試料の顯微鏡寫真にして容易にオーステナイトの中にマルテンサイトの針状を見るを得、此のマルテンサイトは識別困難なるか故に腐蝕を十分にすること必要なり、之に反しA點を保有する試料はピクリン酸腐蝕を行へば數秒の後頗る明瞭なるトルースタイトを現はす、第二十四圖は第二十二圖の曲線に應する試料の顯微鏡寫真なり。

以上は恐らくB點の強さに變化を及ぼすへき理由ならんも決定的に此の微妙なる點に就きて云々する事はなざるへし、然れども此のクローム鋼たるや是迄研究したりし凡ての鋼と同性質のもたるは吾人の信して疑はざる所なり。

其他の特種鋼

例としてタンクステン、クローム鋼を擧ぐ(第一圖)一般に高速度鋼は既に論したる A、B 二點の特性を呈するものなり。

最も廣く用らるゝニッケル、クローム鋼及一般に自淬鋼と稱するものは吾人の述へし二臨界點を保持す、前述のニッケル、クローム、銅鋼亦此の部類に入るべきものなり(第二十五圖)

炭素鋼

前掲の特種鋼はトルースタイト及マルテンサイト組織をなし冷却曲線上に二個の臨界點を有す。吾人が A 點と稱呼せし第一點は稍高き溫度(通常五百度よりも高し)にありてトルースタイトの生成と一致す、又第二點たる B 點は一般に低溫度にて生ずるものにして如何なる場合と雖 A 點の溫度より低く且つマルテンサイトの出現に應ずるものなり。

炭素鋼と特種鋼とは同一の方法を以て同一組織を得らる可きものなるか? 如斯問題は可なり困難なるものなり、何となれば炭素鋼にては冷却速度を大ならしむるにあらさればトルースタイト及マルテンサイト組織を得る事能はされはなり。故に冷却に關する研究は前諸條の場合よりも困難なりと言ふ可し。

Benedicks 氏は其の著に健淬によりて頗る多量のトルースタイトを得たる事を記載せり、而して此際冷却曲線中に六百六十度附近に於て明白なる再燃點(Recalescence)を認め且つトルースタイトは顯微鏡的以上に微細なるパラライトに過ぎざるものなりと結論せり、氏はトルースタイト生成の溫度に就て調査したるにも拘らずトルースタイト及マルテンサイト組織の生成順序に關しては何等結論を與へざりしも其の後の研究に於てオーステナイトよりトルースタイトに變移するには必ずマルテンサイトの階梯を踏むべきものなれとも屢観測し得ることありと言へり。

吾人の特種鋼に關する研究によれば冷却に際しトルースタイトはマルテンサイトに先ち生成す

るものなり。

吾人はル、シャトリエー、サラデン裝置に感應繼電器を配して炭素鋼の冷却を研究せり、第二十六圖はかくして得たる曲線にして縱軸は冷却速度を表はし又横軸は溫度を表す。
之等の曲線は試料の大さと成分によりて異れとも(第二十七圖一の共通點あり即ち可なり迅速に健淬する時と雖臨界點が六百度以上にあることにして第二十六圖曲線10は十二秒間に七百度より百度に冷却したる試料に就きて得たるものなり、吾人の使用せし試料の中央部(サーモカッブルを挿入す)にはマルテンサイトの中に多少のトルースタイト撒在す、而して最も鮮明なる臨界點を與へたる試料は最もトルースタイト的にして曲線7は其の例なり(炭素一・一三%を有し千四十度にて油健淬を施したもの)。

又多くの曲線は更に低温度(二百度以下)にて不規曲線を呈せり、然れども此の點に關しては未だ確證なきを以て深く論及せざるへしと雖此の不規狀態は一般に冷却速度の減少に基くものと解せらる但し或る場合(曲線1の如き)には反對なり、以上述へたる二不規點の間に第三點を有する曲線あれとも此の點は前者に比し頗る不明瞭なり。

以上述へたるころを簡言すれば次の如し。

1. トルースタイトは六百度よりも高き臨界點に於て生ずるか如し、而して此の點は稍低溫度の Ar_1 點に外ならざるべし。

2. トルースタイト及マルテンサイトの混淆組織を有する試料の冷却曲線は低溫度に於て不規點を有す。

第三 理論的見地より見たる實驗結果

1. A 點及トルースタイトの生成

以上記する所の結果によりトルースタイトの生成は稍高溫度の臨界點と密接なる關係を有すること明にして此點を A 點と稱す、而して滿俺及ニッケル鋼の曲線(第十圖、第十四圖、及第十九圖)は此の點かバーライト鋼の Ar_1 點の延線上に横はることを示す、之れトルースタイトは顯微鏡的以上に細微なるバーライトに外ならずとの Benedicks 氏說に新論據を與ふるものなれともトルースタイトはバーライトの如く一定の炭素量を有するものにあらざることを注意すべし、トルースタイトは單に顯微鏡的以上に細微なるセメンタイトとフェライトとの凝結物に過ぎず、故に A 點は液體より炭素を排除し同時に同素異性變化 (La transformation allotropique) を起し炭化物は分離す、一二% 滿俺鋼に就き研究したるか如く A 點と帶磁性の出現と一致するは驚くに足らざるなり。

2. トルースタイト生成の條件

トルースタイトの A 點はバーライト鋼の Ar_1 點の延線上にあるか故トルースタイト生成の條件とバーライト生成の條件を區分するは容易ならず、時として同一試料中に之等二種の組織を見る、然れども顯微鏡的には判然區別することを得、トルースタイト組織はマルテンサイト鋼或はオーステナイト鋼中に存在するにあらざれば識別し難し、第十四圖に見る如く A 點生成後はトルースタイト及オーステナイトを有す、故にトルースタイトは基質オーステナイト的な時形成せられ、バーライトとは基質フェライト或は α 鐵よりなる時に容易に生するか如く見ゆ、炭素(或は炭化物)は α 鐵中に限量以上は熔融せざるもバーライトは鋼中に全炭素量を抱含す、之に反し炭素かよく熔融しある時(オーステナイト)に生するトルースタイトは其の發育に好適なる條件下にあらざれば完全に成形せられず、堅細なる支障(冷却速度過大なるか如き)と雖其の生成を妨くへし、之れ條件好適ならざる時 A 點の強さ減退し同時にトルースタイト量が減少する所以なり。

冷却初期の溫度はトルースタイトの生成を容易ならしむる條件中の重要なもののなり、第一圖及

第三圖に掲くる曲線は第二圖に示せる冷却曲線の形態に對し A 點の發育を教ふるものにして A 點は少くも加熱により炭化物の熔解點に達せされは生成し始めざるものとす、加熱溫度上昇すれば此の A 點は逐次發達して最大となり次いて減少し加熱最高溫度か AC_1 (炭化物の熔融)を充分超過するや全く消滅す。

尙其他冷却の際起る A 點の最強度は AC_1 點の起始溫度高き加熱曲線とは決して一致せざることに注意すべし、概略 A 點の強さは加熱溫度をオーステナイト帶或は γ 相中に進むる程減少するものと言ひ得可し、此の健淬溫度の影響に就きて Grenet 氏は溫度を γ 相中に進むれば進むる程結晶粒膨脹じ γ 相は益々安定となるてふ假定下に健淬溫度か上昇するに従ひ變移は反對に困難となるものなりと言へり、又 Benedicks, Nolly 及 Veyret 氏等は加熱臨界點か生起する際に炭化物の完全に消滅(熔融の意)せざるものありと考ふる時は恰も食鹽液中に存在する結晶か他の液體に結晶を催起するか如く冷却に際し熔液より炭化物の折出を容易ならしむるものなりと言へり、故に加熱臨界點以上に溫度を上昇するに従ひ炭化物は良く熔融し其の芽胞は消滅するを以て冷却の際炭化物沈澱の傾向を減しトルースタイトを生せしむること困難となるなり(冷却速度を等齊にするも、此の見解は合理的なるか如し、尙ハイポユーテクトイド鋼に於てトルースタイトは常に熔融せざる炭化物の周圍に成形せられあるを認む)。

3 マルテンサイトの生成

低臨界點を有する鋼はマルテンサイト組織なりとは從來世人の認めたるところなり、吾人は既に此の問題に關する Osmond 氏の意見を陳述せり、又 Grenet 氏は健淬鋼の硬度理論中にも大に論述せられたり、而して吾人か述べたるマルテンサイトの生成と B 點との關係は之等諸家の說と全く合致す然れども B 點に於ける變移は如何なる性質を有するものなるかと言ふに最も廣く信せらるゝ說

としてはマルテンサイトはセメントタイト及フェライト(或は α 鐵)との不安定の固溶體なり、故にB點は γ 鐵中に熔融せる炭化物か熔體外に分離することなく γ 鐵より α 鐵へ變移すへき點に相當するものなり。

此の假説に就きては何人も異論を挿むものなし、而して純マルテンサイト鋼中に於けるB點は此の鋼の磁性變移(La transformation magnétique)と精確に一致す、第二十八圖は炭素0.31%満俺六%を含有する鋼の例にして透磁率(La perméabilité)はユーキング氏の方法によりて測定したるものなり、但し縦座標の単位は適宜とす。

A、B二點を有する鋼の磁性變移は二期に行はる、第一期はA點(トルースタイト)に一致し第二期はB點(マルテンサイト)に一致す、即ちA點生成後殘留せしオーステナイトの磁性變移なり。

吾人は炭素鋼の Ar_3 と四%満俺鋼(第十圖)又は一〇%ニッケル鋼のB點の關係を見出すこと能はざりき、若し概略純粹なる鋼出來得れば絶對に無炭素(マルテンサイトをなすに足るへき量は差支なし)鋼に就きて研究せは趣味多からん。

尙多くの場合B點は其近傍に於て互に近接せるB'、B''二點に分解す。

第四 前記理論の實際的結果

既述研究事項に基き實際的結果を推究すれば左の如し。

1. 自淬鋼(マルテンサイト的)を最もよく軟化するには(換言すれば鋼に被鍛性を與ふること)トルースタイト組織を得ることを努むへし、これか爲めには鋼を實際的に定めたる溫度に熱したる後最も緩徐に冷却するを一般とす、而して確實なる結果を得るためにには臨界點の研究をなすを可とす、A點の強度最も大なるか如き冷却初期の溫度を測定すへし、又冷却速度の如何によりて最大の軟化を得るものとす、故に加熱溫度をよく考究選擇するに於ては鋼に法外なる緩冷を加ふる必要なし。

尙 A 點か完全に形成せられたる時は冷却速度を弱むる必要なし。

吾人は實驗的に第一圖の曲線を與へたる高速度鋼か次の取扱によりて適當なる被鍛性(ブリネル鋼珠の中徑十耗、壓力三千磅なる時凹痕の中徑三・六耗なり)を得たり。

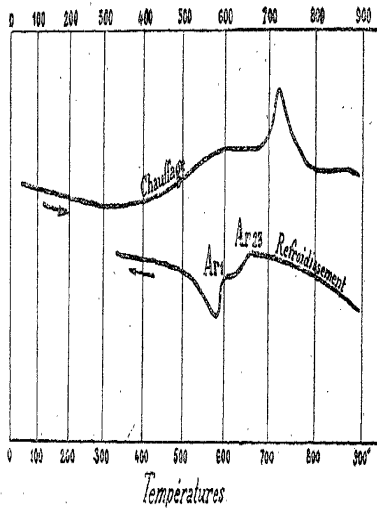
a 八百六十度に豫熱せる熔鉛中に十分間加熱する二十分間にて六百五十度迄熔鉛中に冷却す、^c後空中放冷を行ふ。

2. 鋼を最硬度に健淬するには臨界溫度に達せしめたるのみにては不十分なり、時として純マルテンサイト組織を得るには可なり溫度を上昇せざる可らず。

3. 與へられたる冷却初期の溫度に對しては大なる冷却速度を以て A 點を通過せしむる程效能大なり、これ高速度鋼に對する Taylor 健淬法にして或る特別の特種鋼中には溫液の中に健淬を行うものあり。

第五 結論

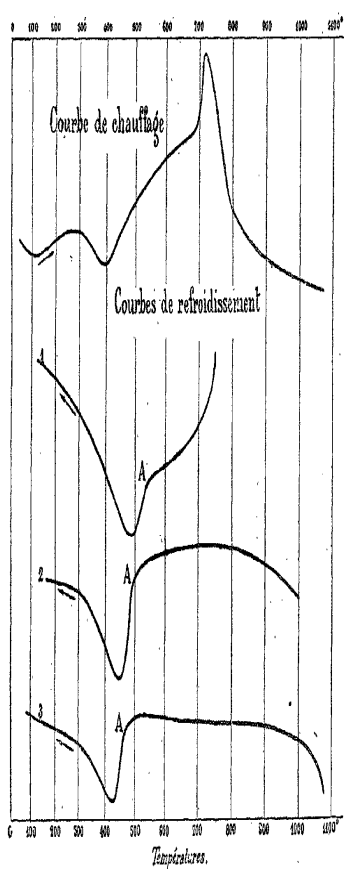
1. トルースタイトとマルテンサイトを有する鋼にありてはトルースタイトはマルテンサイトよりも高溫度にて生成す即ちマルテンサイトよりも前に生成す。
2. 之等の各組織は明瞭なる臨界點によりて特性を發揮す、トルースタイトの生成に應するものを A 點と言ひマルテンサイトの生成に應するものを B 點と言ふ、但しこの B 點は時によりて二分することあり。
3. 第十、第十四、第十九圖の圖式にありて A 點はパーライト鋼の A_{r_1} の延線上にありこれ「トルースタイトはフェライトとセメンタイトの顯微鏡的以上に微細なる聚成に外ならず」との Benedicks 氏の説に新例を與ふるものなり。
4. トルースタイトは球狀又は針狀となりマルテンサイト又はオーステナイトの中にも現はる又



第七圖 淬 優 鋼 の 邊 界 點
(示 差 曲 線)
C 0.42% Si 0.02% Mn 2.11%



第五圖 700°Cに加熱したニッケル、クロム、錫鋼(第三圖)の顯微鏡写真
(説明部はマルテンサイト相)
(鏡寫鏡はトルースタイル)

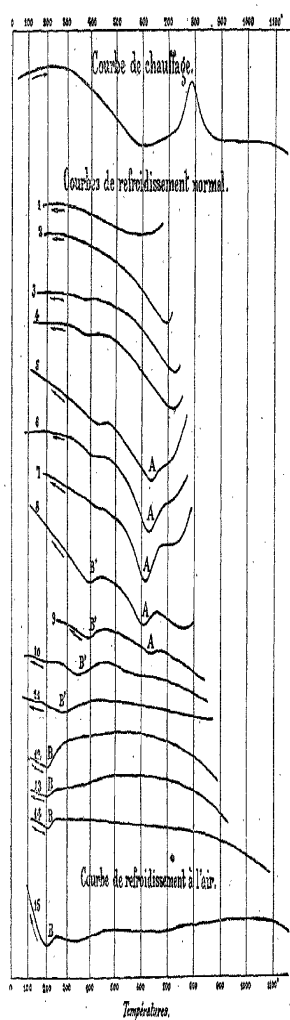


第八圖 淬 優 鋼 の 邊 界 點
(示 差 曲 線)
C 0.37% Si 0.02% Mn 3.00%



第六圖 1000°Cに加熱したニッケル、クロム、錫鋼(第三圖)の顯微
鏡寫真
(マルテンサイト相)

175倍

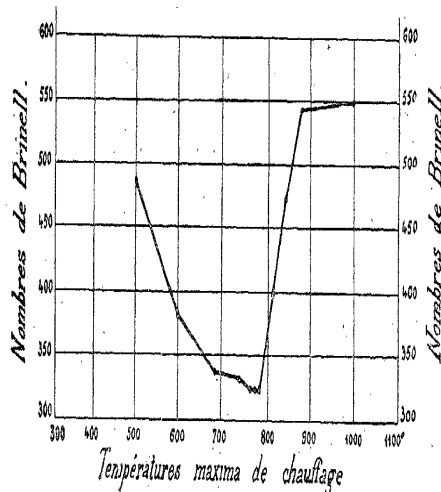


第九圖 ニッケル、クロム、錫鋼の邊界點

(示 差 曲 線)

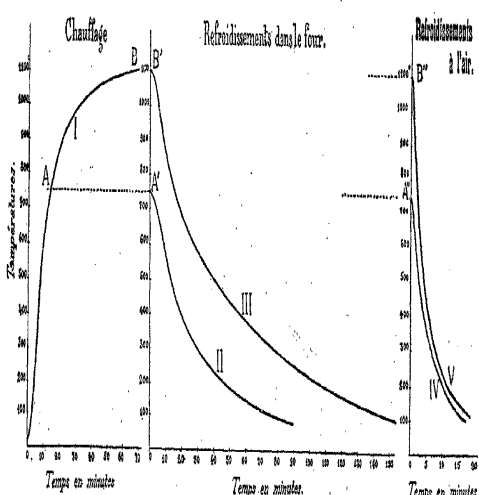
C 0.89% Si 0.28% Mn 0.43%

Ni 2.44% Cr 1.83% 錫 1.72%



第十圖 各種の温度に加熱したニッケル、クロム、錫鋼

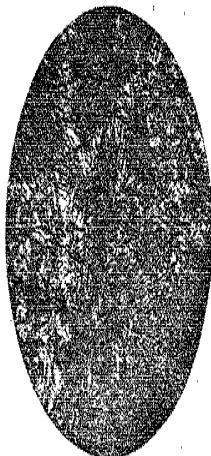
試料(第三圖に示したる)のブリネル試験成績



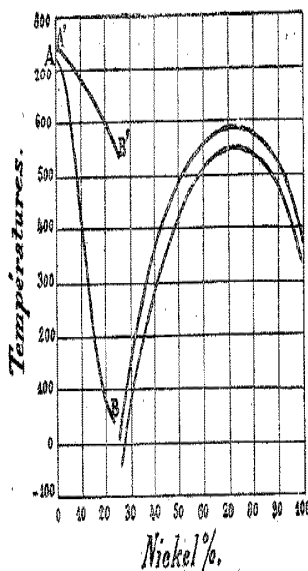
第十一圖 W 13%を有する高速度鋼の邊界點(示差曲線)



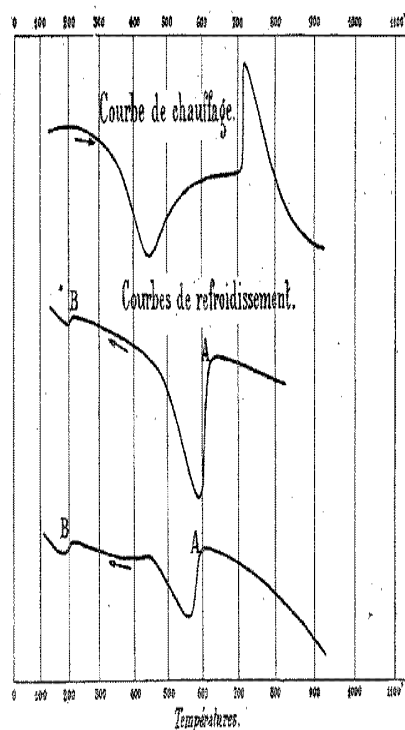
第十三圖 C 1.13% Si 0.20% Mn 1.9%
を含む鋼の顯微鏡寫真
875倍軟化後観察す
(カルバサイト及マルテンサイトな
り、高炭に見ゆる島状の折歯紙はオ
ーステナイトの析出るを意味す)
250倍



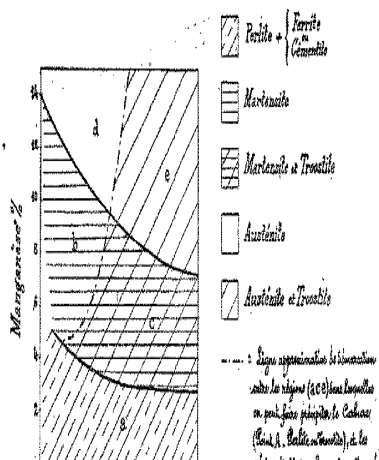
第十六圖 C 0.60% Mn 6.90%を含む
鋼の顯微鏡寫真 800倍軟化後冷却
(トルースタイト及マルテンサイト)
175倍



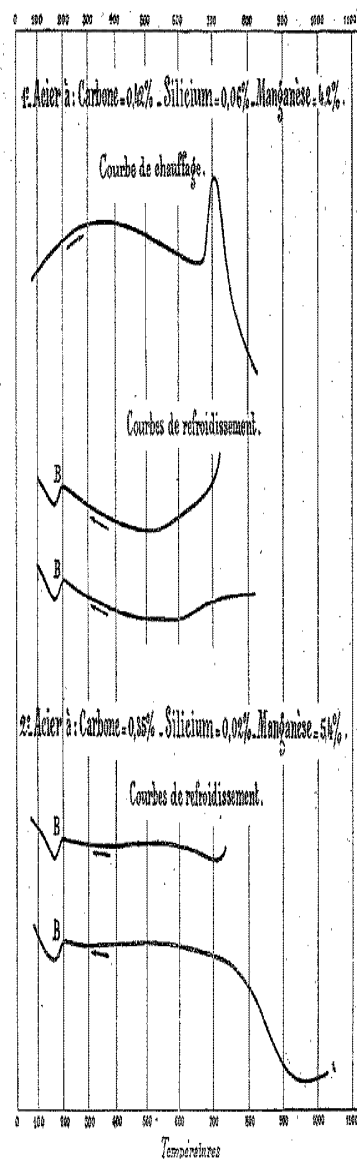
第十七圖 ニッケル鋼の液相線點 (Omond)
A/B: 加熱變移點 A: 冷却變移點



第十二圖 溶化鋼の境界點
(示差曲線)
C 0.89% Si 0.04% Mn 4.10%



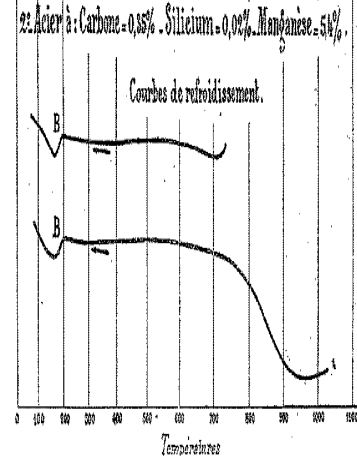
第十五圖 よく軟化された溶化鋼の組織圖式



1. Acier à : Carbon 0.88% Silicium 0.08% Manganèse 5.0%.

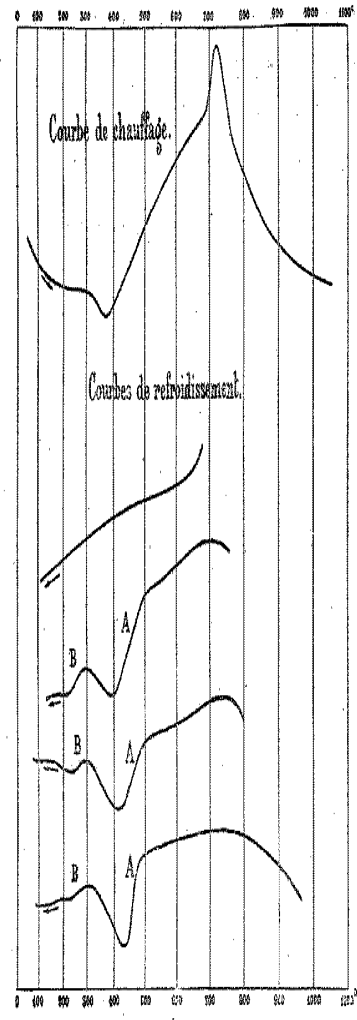
Courbe de chauffage.

Courbes de refroidissement.

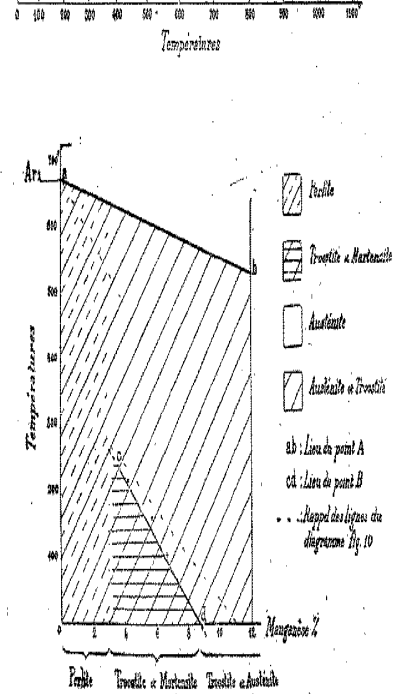


Courbes de refroidissement.

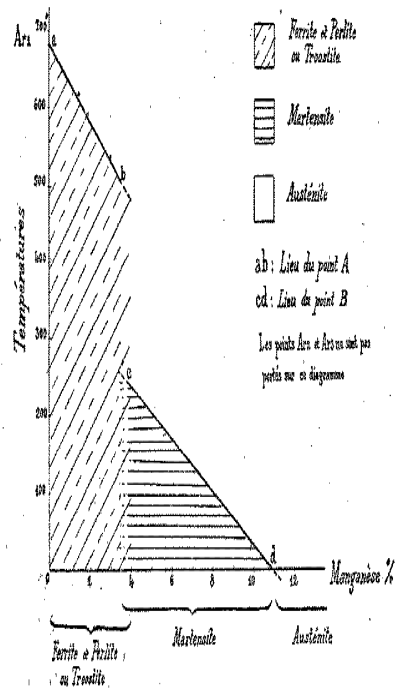
2. Acier à : Carbon 0.88% Silicium 0.08% Manganèse 5.0%.



第九圖 溶化鋼の境界點(示差曲線) C 0.88% Si 0.08% Mn 3.5%



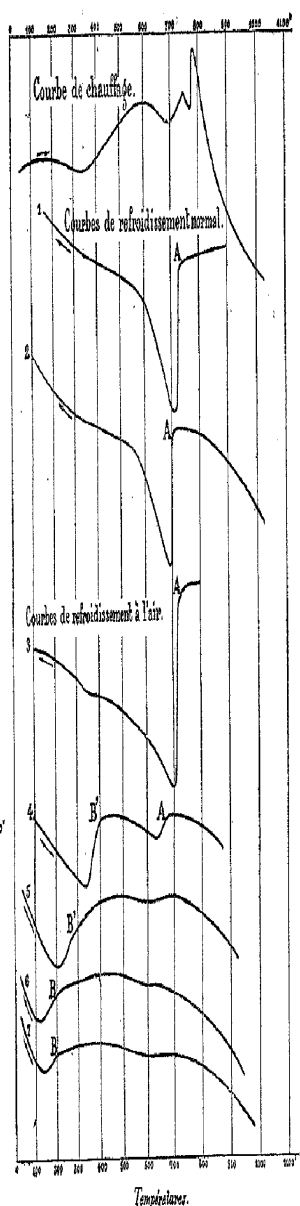
第十四圖 Mn0.7~1%を含有する溶化鋼の冷却界點圖式



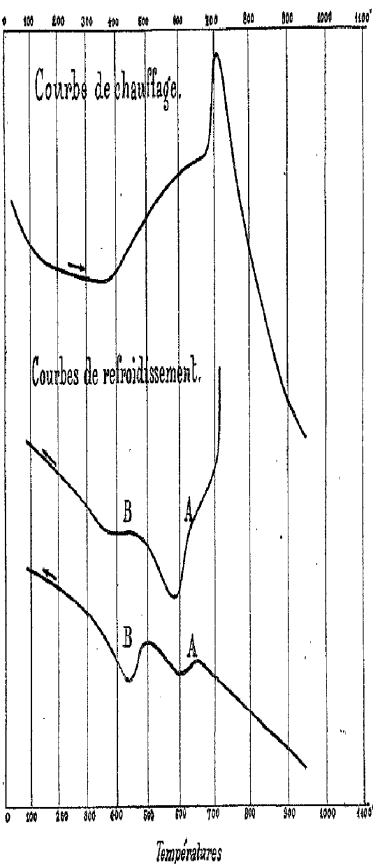
第十圖 Mn0.8~0.9%を含有する溶化鋼の冷却界點圖式



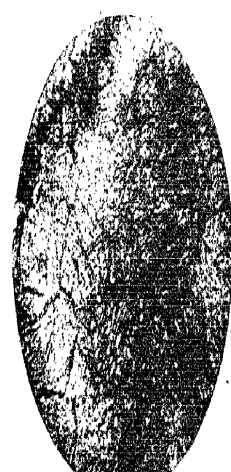
第二十四圖 800°に熱し後爐中に冷却したるクロム鋼の顯微鏡寫真
(第二十二圖の曲線)
トルースタイトとフェライト
(多少マルテンサイト的なり)
175倍



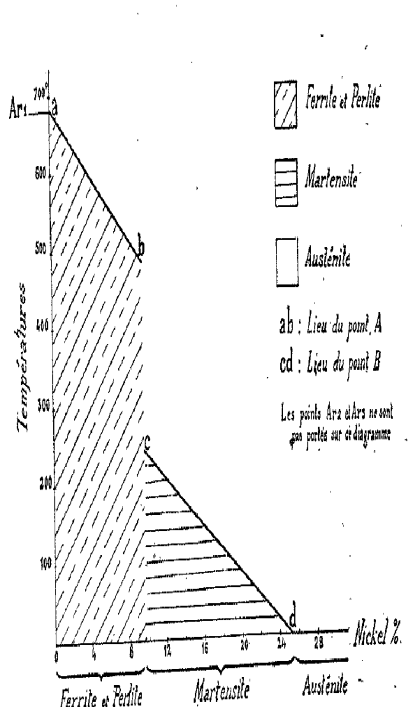
第二十二圖 クロム鋼の臨界點(示差曲線)
C 0.37% Si 0.10% Mn 0.15% Cr 6.2%



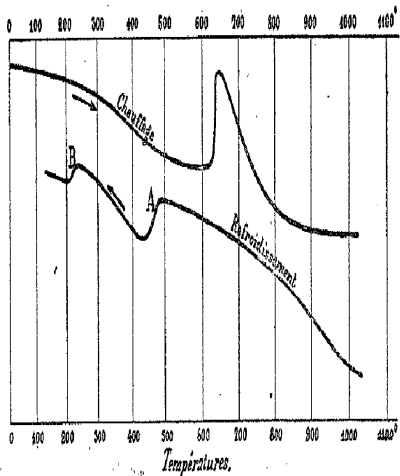
第二十五圖 ニッケル、クロム鋼の臨界點
(示差曲線)
C 0.20% Si 0.34% Mn 0.05% Ni 2.84% Cr 9.5%



第二十三圖 850°に熱し後空中にて冷却したるクロム鋼の顯微鏡寫真
(第二十二圖の曲線)
オーステナイトの中マルテンサイトの針を見る 600倍

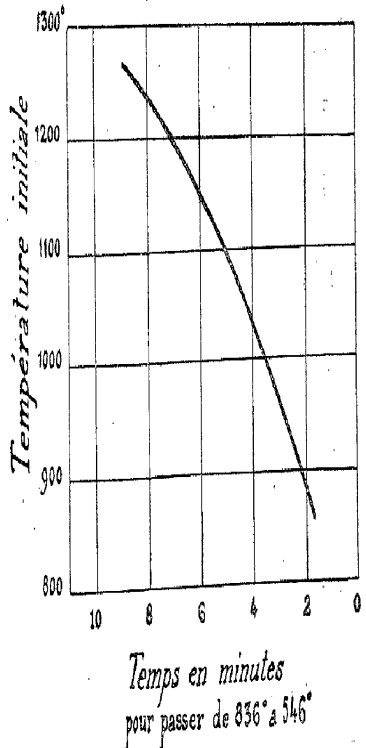


第十九圖 C 0.2%を有するニッケル鋼の冷却臨界點の圖式



第十八圖 ニッケル鋼の臨界點(示差曲線)

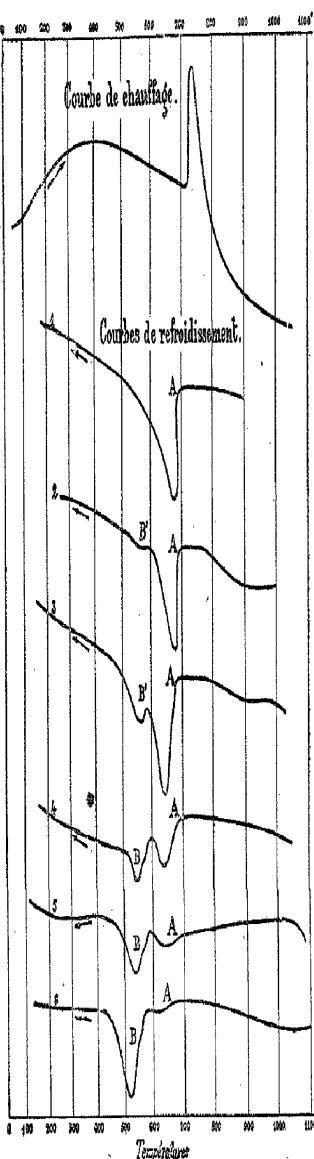
C 0.18% Ni 8.73%



Temps en minutes
pour passer de 836° à 546°

第二十一圖 クロム鋼中に炭素の移動を禁止するに
必要なる冷却速度と初期温度との關係

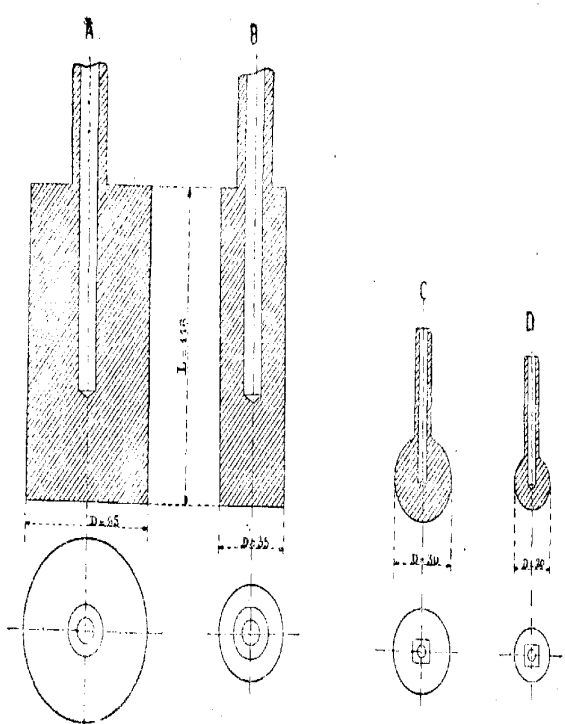
C 0.68% Cr 6.15%



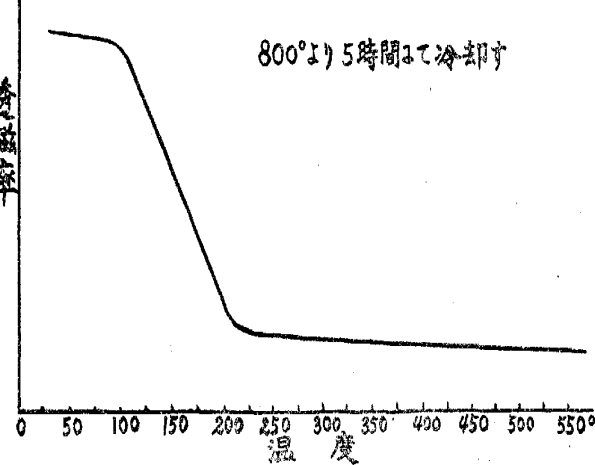
第二十圖 タングステン鋼の臨界點

(示差曲線)

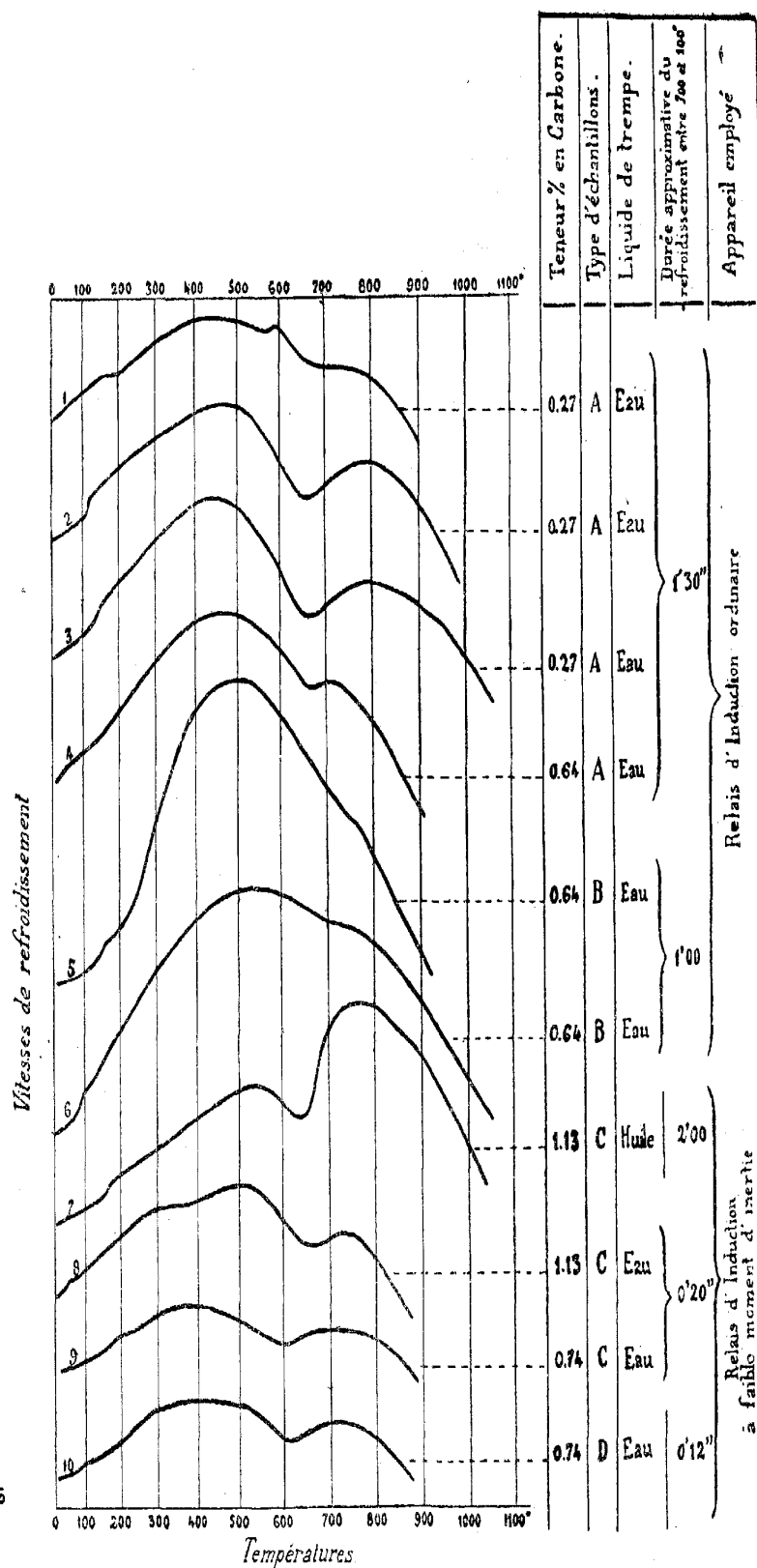
C 0.73% Si 0.08% Mn 0.14% W 4.4%



第二十七圖 第二十六圖の健淬曲線測定
に供したる試料の型



第二十八圖 C 0.30% Mn 6% を有する鋼
の冷却間に於ける透磁率の變化



第二十六圖 感應繼電器により各種鋼の健淬間の冷却臨界點
(冷却速度曲線)

此の組成分か多數中心の周圍に發達し連續せず、これ冷却によりて物質中に大なる張力生ずるか爲なり特に健淬せる炭素鋼のトルースタイトは試料の周邊よりも其の中心に於て大なるものなり。

5. 冷却によりて生するトルースタイトと、健淬鋼を一定の鈍淬によりて得たる炭化物聚成とは化學的には差異なきか如しと雖顯微鏡的には兩者の間に異なる所あり、トルースタイトは前項に述べたるか如く數多中心の周圍に發達すれとも鈍淬によりて生したる炭化物の聚成は全體に亘り一様に發達す、故に此の差異のみにて組織を判斷し得、例へば冷却により球狀となりたるものトトルースタイトと稱し反淬したる組織をソルバイト或はオスモンダイト稱するか如し。

6. 顯微鏡組織又は臨界點の研究に基き A, B 點を識別し之により精確に特種鋼(満俺鋼或はニッケル鋼)を分類することを得。

7. 不逆鋼と稱せらるゝニッケル鋼は右の識別により二群に分類せらるゝこと次の如し。

a. 臨界點 A を有する鋼(此群はパーライト鋼に相當す)にして多少明瞭なるヒステリシスを有する假可逆鋼(Les aciers pseudo-réversibles)或は準可逆鋼(Les aciers quasi-réversibles)なり。

b. 臨界點 B を有する鋼(マルテンサイト鋼)にして適切に言へば不逆鋼なり、何んとなれば加熱曲線と冷却曲線とは一致せざるを以てなり。

8. トルースタイト及マルテンサイトの生成に關し各種成分の鋼の特性を一理論中に統一し得る利あり唯作用速度によりて異なるのみ緩徐なる作用を加へしものは研究に便なるか故本試験には屢之を應用せり。

9. 以上の結果より自淬鋼の被鍛性と一般健淬とに關し趣味ある推定をなすことを得。

10. 吾人はトルースタイト及マルテンサイトの生成と性質に關し説明する處ありしか文極めて簡なるのみならず未だ明瞭ならざる事項をも少からず記載せり、然れども多少研究の士を利すると

ころもやあらんと思ひ敢て茲に之れを發表せり。

此の研究は佛國 Creusot 所在 Schneider 工場研究室に於て行ひたるものなり。(完)

◎常溫壓延機の運轉に要する動力

"Power Required by Cold Rolling Mills," by C. E. Davis.

The Engineer; Vol. 125, No. 3246.

片々生

茲に掲げたる表題と全く同一の題目に就て予は嘗て本誌上("The Engineer; Vol. 122, p. 134)に於て述べたることありたるか、其の際常溫の下に於て行はる、壓延作業に要する動力の量か如何に作業上の條件及び状態に關聯するものなるかを示し、且つそれに關する一二の公式をも掲げて金屬板の壓延前後に於ける厚さ及びロールの寸法とその場合に費さる、動力の量との間の關係を表すべき簡単なる式の成立すべきことを說きたま。

想ふに吾等若し壓延機の運轉に要すべし動力の量を比較的正確に豫想することを得たらんには將に新設せんとする壓延機の計畫並ひに設計の上に指針と成りて裨益すること少なからず、且亦公式の範圍を擴大して如何なる材料及び状態の場合にも適用し得らるゝに至り求めし値に誤謬少なければ尙一層種々の方面に用ひて便宜とする所多かるへし。殊に英國にても現況に於けるか如く壓延機を運轉せしむる爲に電動機を用ふること益々多からんとする傾向相見ゆる際なれば更に一層その感を深うせしむる所のものあり。

以前に於ては壓延機を運轉せしむる爲に用ひられし原動機は殆んど蒸氣機關のみなりしかば假